

# 巴塘地震台近震弱 S 波震级偏差研究

何 韬, 刘 涛, 李小萍, 唐云辉

(巴塘地震台, 四川 巴塘 627650)

**摘要:** 分析了 2009 年至 2012 年巴塘台测定的  $M_L \geq 3.0$  的近震共 540 个, 计算出了它们与中国地震台网中心(CSN)发布的  $M_L$  震级之间的偏差, 找出了巴塘台弱 S 波出现的区域。用相同标准震级, 相等震中距的方法, 找出了正常波形记录与弱 S 波波形记录之间的振幅比, 计算出了弱 S 波地震的震级偏差程度, 发现该台记录到的弱 S 波的比例高达 46.5%, 弱 S 波的震级偏差达 0.7, 其结果有利于地震震级测定的准确性。

**关键词:** 数字地震观测; 近震; 弱 S 波; 震级偏差

**中图分类号:** P315.3<sup>+1</sup>    **文献标志码:** A    **文章编号:** 1000-0844(2013)增刊-0081-04

DOI: 10.3969/j.issn.1000-0844.2013.增刊.0081

## Magnitude Deviation of Seismic Weak S-wave of Batang Station

HE Tao, LIU Tao, LI Xiao-ping, TANG Yun-hun

(Batang Seismic Station, Batang Sichuan 627650, China; )

**Abstract:** After analyzing 540 near earthquakes of  $M_L \geq 3.0$  determined by Batang station from 2009 to 2012, we calculated the magnitude deviation from that released by China Earthquake Networks Center (CSN), and then found out the regions where weak S-wave occurred at Batang station. Using the methods of same standard magnitude and same epicenter distance, the amplitude ratio of normal waveform recording to weak S-waveform recording was found and the magnitude deviation degree of weak S-waveform earthquakes was also calculated: the former at Batang station is up to 46.5% and the latter is 0.7. This study could make the determination of earthquake magnitude of our station more accurate.

**Key words:** digital earthquake observation; near earthquake; weak S-wave; magnitude deviation

### 0 引言

巴塘地震台从 1998 年安装了数字地震仪以来, 记录到的地震震级偏差有两种情况<sup>[1-3]</sup>, 一种情况是地震震级偏差在 ±0.2 之间, 这属于正常现象, 还有一种是地震震级偏小, 偏小的幅度达 0.6 以上。找出这些地震震级偏差为什么如此而之大, 是否具有规律性还是很有必要的。通过多年的分析总结, 发现震级偏差在 0.6 以上的地震, 它们记录出来的波形特征为弱 S 波形。

弱 S 波特征是指: 与正常地震记录波形相比, 近震在水平分向上, S 波的振幅比 P 波的振幅小或小

很多。一般情况下, 近震在水平分向上, S 波的振幅要比 P 波的振幅大。下面是巴塘台记录到的地震波形记录, 它们的震中距不同。

图 1(a) 地震事件为 201212012317. EVT, 是弱 S 波记录, 方位角 65.9°,  $\Delta = 525$  km,  $H = 24$  km,  $M_L = 4.6$ , 震中: 北纬 31.85°, 东经 104.18°, 四川省汶川县。我台实测 4.0, 相差 0.6 级。

图 1(b) 地震事件为 201210191045. EVT, 方位角 86.8°,  $\Delta = 361$  km,  $H = 26$  km,  $M_L = 4.3$ , 震中: 北纬 30.14°, 东经 102.86°, 四川省天全县。巴塘台实测 3.6, 相差 0.7 级。

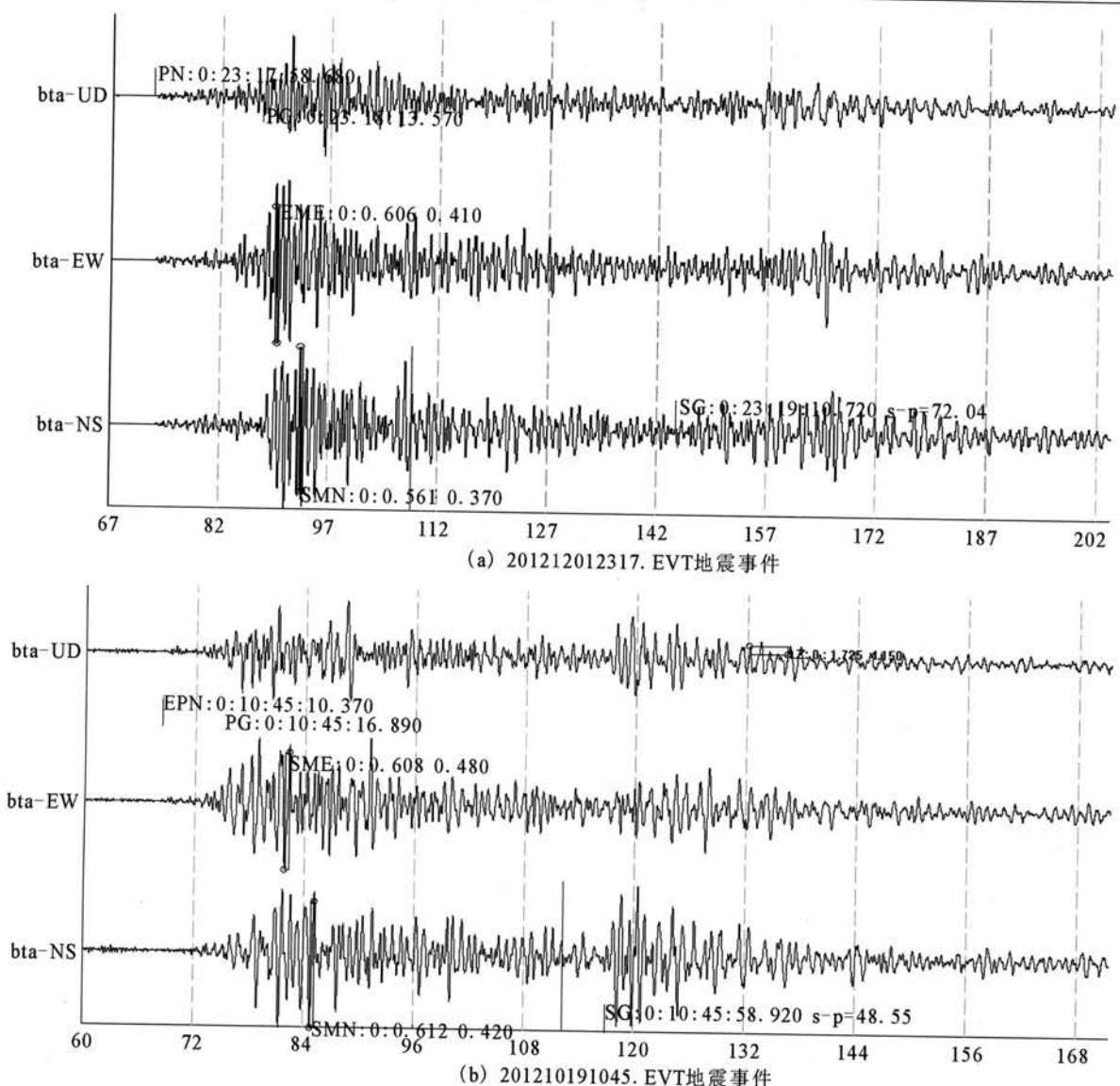


图1 巴塘地震台记录弱S波典型图例

Fig. 1 Typical sample of weak S-wave recorded at Batang station

图2地震事件为201304161634.EVT,是正常波形记录,方位角241.9°, $\Delta=436\text{ km}$ , $H=6.3\text{ km}$ , $M_L=5.1$ ,震中:北纬28.1°,东经95.2°,西藏墨脱县。我台实测5.1,相差0.0级。

## 1 资料

用国家台网中心的目录数据,以我台为中心,选取时间为2009年1月至2012年12月,选取的震级为 $M_L \geq 3.0$ ,选取半径为北纬24°至36°;东经93°至105°(我台地理坐标为30.00°,99.1°),共选取地震1283个,再与我台记录相对比,共找到540个 $M_L$ 3.0的地震。

## 2 处理方法

$d_{M_L}$ 为平均偏差, $M_{st} i$ 标准震级,由中国地震台网中心目录给出; $M_{real} i$ 为台站实际测算震级; $n$ 为测算

### 2.1 震级的计算公式和相关公式

2006年9月至今,我台一直使用的是北京港震机电技术有限公司开发的EDAS—IAS人机交互分析程序。数字观测系统近震震级计算公式为<sup>[4]</sup>:

$$M_L = \log(A) + R(\Delta) + C \quad (1)$$

式(1)中: $A$ 为地震计两个水平向最大记录振幅的平均值; $R(\Delta)$ 为近震震级的起算函数,它跟震中距( $\Delta$ )有关; $C$ 是台站校正值。在台站实际使用的软件中,没有加校正值,即台站校正值 $C=0$ 。震级平均偏差公式为:

$$d_{M_L} = \sum_{i=1}^n \Delta M_i / n \quad (2)$$

$$\Delta M_i = M_{st} i - M_{real} i \quad (3)$$

震级的地震总个数; $\Delta M_i$ 是震级的偏差值。标准误差公式为:

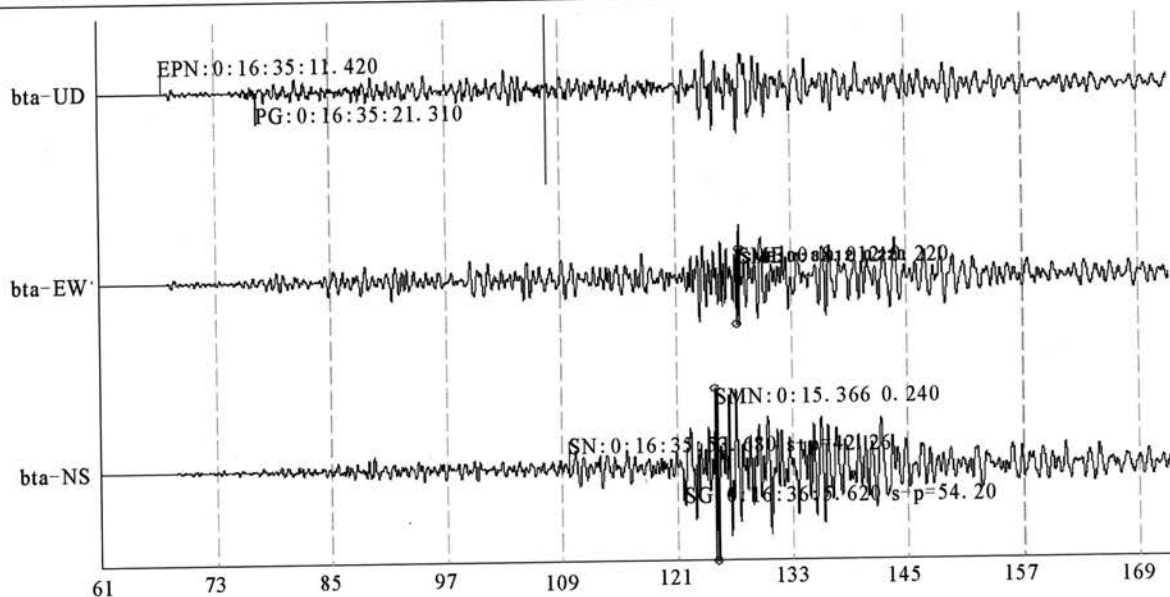


图 2 巴塘地震台记录非弱 S 波典型图例

Fig. 2 Typical sample of non-weak S wave recorded at Batang station

$$S = \pm \sqrt{\frac{\sum_{i=1}^n (d_{M_L} - \Delta M_i)^2}{n-1}} \quad (4)$$

## 2.2 方位角和震中距计算

为了消除人员分析水平的参差不齐,排除人为错分的可能,使用了计算震中距和方位角的软件。以中国地震台网中心(CSN)给出的地震震中为依据,计算出每一个地震到本台的震中距与方位角,用《地震台站观测规范》<sup>[5]</sup>中的近震起算函数  $R(\Delta)$ 。依据我台实际测算的最大地动位移,精确计算出了每一个地震在我台实际的震级,结果真实可靠。

## 2.3 震级差的对比法

采取选用起算函数相同,所给地震标准震级相等,震中距相近(±20 km 以内),只有方位角不同,一组是正常波形记录,另一组是弱 S 波波形记录,共找出了相对应的地震 96 对,计 192 个地震。

## 3 结果

### 3.1 弱 S 波出现的区域

巴塘台弱 S 波出现的区域是方位角 62°至 155°之间,震中距大于 290 km 以后出现弱 S 波的地震共 251 个,比例为 46.5%,如表 1 所示。

表 1 震中距、方位角、地震个数与波形情况之间的关系

震中距 $\Delta/km$	方位角 $\alpha/(^\circ)$	$N$ (地震个数)/个	波形情况
<290	$0 < \alpha < 360$	29	正常
>290	$62 < \alpha < 155$	251	弱 S 波
>290	$155 < \alpha < 422$	260	正常

### 3.2 震级偏差情况

用上述的相关公式计算出所选取 96 对地震的

震级平均偏差和标准误差。结果如表 2。从表 2 可以清楚的看到,巴塘台弱 S 波出现的地震震级偏差很大,  $d_{M_L}$  为 0.749, 标准震级大, 我台的地震震级偏小, 这与我们平时工作中出现的实际情况是相吻合。 $S_{M_L}$  误差为 +0.179, 标准误差小, 说明震级偏差相对集中。正常波形, 本台震级偏差符合要求。震中距小于 290 km 的地震,  $d_{M_L}$  为 0.120,  $S_{M_L}$  误差为 +0.182, 震级偏差不大, 达到规范要求; 震中距大于 290 km 的正常地震波形,  $d_{M_L}$  为 -0.002,  $S_{M_L}$  误差为 -0.272, 震级偏差不大, 也达到规范要, 只是后者离散度相对大。

表 2 震级偏差与震中距、方位角、波形情况之间的关系

震中距 $\Delta/km$	方位角 $\alpha/(^\circ)$	$N$ (地震 个数)/个	$d_{M_L}$ (平 均偏差)	$\Delta M_i$ 均方差	波形 情况
<290	$0 < \alpha < 360$	29	0.120	+0.182	正常
>290	$62 < \alpha < 155$	96	0.749	+0.179	弱 S 波
>290	$155 < \alpha < 422$	96	-0.002	-0.272	正常

### 3.3 震幅比的情况

依据测定出的正常波形的振幅与弱 S 波波形的振幅的振幅比, 平均值为 7.05。 $\lg(7.05) = 0.85$ , 也就是说, 正常波形的地震震级要比弱 S 波波形的地震震级大 0.85, 这与震级偏差为 0.749 相吻合。

## 4 结论

(1) 巴塘台波形记录正常的地震, 其震级偏差在 ±0.2 之间, 符合规范要求。出现弱 S 波现象的地震, 其震级明显偏小, 偏小幅度在 0.6 以上;

(2) 通过对地震波形的分析总结, 认为在我台以东 290 km 以外, 方位角 62°至 155°之间的地区,

大约东经 102°附近存在一段大的软流层,导致 S 波无法正常通过,造成我台震级明显偏小;

(3) 我台记录到东边大于 290 km 以外的地震有弱 S 波现象出现,那么在我台以东 290 km 以外的地震台,他们在记录东经 102°以西的地震,是不是也会出现弱 S 波现象呢?

### 参考文献

- [1] 张淑珍. 兰州台数字记录速报震级偏差的分析[J]. 地震地磁观

测与研究, 2006, 27(2): 28-31.

- [2] 田文德, 胡俊明. 成都数字地震仪测定震级偏差分析与校正[J]. 四川地震, 2012, (3): 20-23.
- [3] 刘学华. 平武地震台数字地震仪记录近震震级及定位偏差[J]. 四川地震, 2011, (2): 32-35.
- [4] 中国地震局监预报司. 地震学与地震观测[M]. 北京: 地震出版社, 2007.
- [5] 国家地震局. 地震台站观测规范[M]. 北京: 地震出版社, 1990.
- [6] 中国地震局监预报司. 数字地震观测技术[M]. 北京: 地震出版社, 2003: 22-35.

(上接 50 页)

- [14] 毛凤英, 张培震. 古地震研究的逐次限定方法与新疆北部主要断裂带的古地震研究[A]//国家地震局地质研究所编, 活动断裂研究(4). 北京: 地震出版社, 1995: 153-164.
- [15] 冉勇康, 邓起东. 海原断裂的古地震及特征地震破裂的分级性讨论[J]. 第四纪研究, 1998, (3): 271-278.
- [16] 国家地震局阿尔金断裂带课题组. 阿尔金活动断裂带[M]. 北京: 地震出版社, 1992.
- [17] 青海省地震局, 中国地震局地壳应力研究所. 东昆仑活动断裂带[M]. 北京: 地震出版社, 1999.
- [18] 国家地震局地质研究所, 宁夏回族自治区地震局. 海原活动断裂带[M]. 北京: 地震出版社, 1990.
- [19] 刘兴旺, 雷中生, 袁道阳, 等. 1609 年甘肃红崖堡 7½ 级地震考证[J]. 西北地震学报, 2011, 33(2): 143-148.